

ОГРАНИЧЕНИЯ НА МАССЫ СКАЛЯРНЫХ ЛЕПТОКВАРКОВ В ЧЕТЫРЕХЦВЕТОВОЙ МОДЕЛИ

*А. В. Поваров*¹

Ярославское высшее военное училище ПВО, Ярославль, Россия

Показано, что в рамках четырехцветовой симметрии ограничения на массы скалярных лептокварков значительно меньше, чем на массы векторных лептокварков. Исследованы процессы с нарушением лептонного аромата $l_i \rightarrow l_j \gamma$, аномальный магнитный момент мюона и магнитный момент нейтрино. Показано, что при учете значений матрицы дополнительного фермионного смешивания K_2^L ограничения на массы скалярных лептокварков с электрическими зарядами $2/3$ и $-1/3$ составляют порядка нескольких тераэлектронвольт.

It is shown that in the framework of four-color symmetry the restrictions on the masses of scalar leptokquarks are much smaller than those of vector leptokquarks. The processes with the lepton flavor violation $l_i \rightarrow l_j \gamma$, the anomalous magnetic moment of the muon and the magnetic moment of the neutrino are investigated. It is shown that the accounting values of the additional fermionic mixing matrix K_2^L restrictions on the masses of scalar leptokquarks with electric charges $2/3$ and $-1/3$ constitute the order of several TeV.

PACS: 12.60.-i; 14.80.Sv

ВВЕДЕНИЕ

Одним из вариантов новой физики за пределами СМ может быть четырехцветовая симметрия кварков и лептонов типа Пати–Салама [1]. Она предсказывает существование в калибровочном секторе векторных лептокварков ($SU_c(3)$ -цветовых триплетов) с массой масштаба спонтанного нарушения четырехцветовой симметрии. Известны сильные ограничения на массы векторных лептокварков (более 1200 ТэВ [2–4]) из ненаблюдения распадов типа $K_L^0 \rightarrow \mu^\pm e^\mp$. Поэтому принято считать, что эффекты четырехцветовой симметрии слишком слабы, чтобы проявить себя на существующих ускорителях. Как недавно было показано в работах [5, 6], нижняя граница масс векторного лептокварка при учете фермионного смешивания из распадов $K_L^0 \rightarrow l_i^+ l_j^-$, $B^0 \rightarrow l_i^+ l_j^-$, $B_s^0 \rightarrow l_i^+ l_j^-$ может быть порядка 100 ТэВ. Однако проявления четырехцветовой симметрии возможны при гораздо меньших энергиях (порядка 1 ТэВ). Ограничения на массы скалярных лептокварков, предсказываемых моделью из экспериментов по аномальному магнитному моменту мюона, магнитному моменту нейтрино и лептонных процессов с нарушением аромата, показывают, что их массы могут быть порядка нескольких тераэлектронвольт.

¹E-mail: povarov272@mail.ru

В простейшем случае группа четырехцветовой симметрии может быть векторной — $SU_V(4)$ — группой и объединена с симметрией Стандартной модели в виде прямого произведения

$$SU_V(4) \times SU_L(2) \times U_R(1), \quad (1)$$

называемого минимальной кварк-лептонной симметричной моделью (МКЛС-моделью [7, 8]).

Взаимодействия калибровочных лептокварков с нижними кварками и лептонами в общем случае можно представить в виде

$$L_V dl = (\bar{d}_{p\alpha}^L (g_k^L)_{pi} \gamma^\mu P_L + (g_k^R)_{pi} \gamma^\mu P_R) l_i V_{\alpha\mu}^k + \text{h. c.}, \quad (2)$$

где $(g_k^{L,R})_{pi}$ — феноменологические константы, описывающие калибровочное взаимодействие с учетом возможного смешивания фермионов, индексы $p, i = 1, 2, 3, \dots$ нумеруют кварковые и лептонные поколения, индекс k нумерует калибровочные лептокварки, $\alpha = 1, 2, 3$ — цветовой $SU(3)$ -индекс и $P_{L,R} = (1 \pm \gamma_5)/2$ — левый и правый проекционные операторы.

В МКЛС-модели базисные поля левых (L) и правых (R) кварков $Q_{ia\alpha}^{L,R}$ и лептонов $l_{ia}^{L,R}$ образуют фундаментальные квартеты цветовой группы $SU_V(4)$ и в общем случае являются суперпозициями физических кварков $Q_{ia\alpha}^{L,R}$ и лептонов $l_{ia}^{L,R}$,

$$Q_{ia\alpha}^{L,R} = \sum_j (A_{Q_a}^{L,R})_{ij} Q_{ja\alpha}^{L,R}, \quad l_{ia}^{L,R} = \sum_j (A_{l_a}^{L,R})_{ij} l_{ja}^{L,R}, \quad (3)$$

где $i, j = 1, 2, 3$ — индексы фермионных поколений; $a = 1, 2$ и $\alpha = 1, 2, 3$ — индексы группы $SU_L(2)$ и группы $SU_c(3)$, $Q_{i1} \equiv u_i = (u, c, t)$, $Q_{i2} \equiv d_i = (d, s, b)$ — верхние и нижние кварки; $l_{j1} \equiv \nu_j$ — массовые состояния нейтрино; $l_{j2} \equiv l_j = (e^-, \mu^-, \tau^-)$ — заряженные лептоны. Унитарные матрицы $A_{Q_a}^{L,R}$ и $A_{l_a}^{L,R}$ описывают фермионное смешивание и диагонализуют массовые матрицы кварков и лептонов, возникающие после спонтанного нарушения симметрии. Из них строятся матрицы — $C_Q = (\hat{A}_{Q_1}^L) A_{Q_2}^L$ — матрица Кабиббо–Кобаяши–Маскавы, обусловленная, как известно, имеющимся различием матриц смешивания $A_{Q_1}^L$ и $A_{Q_2}^L$ для верхних и нижних левых кварков, $C_l = (\hat{A}_{l_1}^L) A_{l_2}^L$ — аналогичная матрица в лептонном секторе (при этом матрица C_l^\dagger описывает смешивание нейтрино и совпадает с используемой в настоящее время матрицей Понтекорво–Маки–Накагавы–Сакаты), обусловленная различием матриц смешивания $A_{l_1}^L$ и $A_{l_2}^L$ для верхних и нижних левых лептонов, $K_a^{L,R} = (\hat{A}_{Q_a}^{L,R}) A_{l_a}^{L,R}$ — четыре унитарных матрицы смешивания, обусловленные возможным различием кварковых и лептонных матриц смешивания $A_{Q_a}^{L,R}$ и $A_{l_a}^{L,R}$, специфичные для четырехцветовой симметрии кварков и лептонов. Отметим, что, хотя группа (1) является векторной, взаимодействие (2) не имеет чисто векторного характера из-за возможного различия матриц смешивания в (3) для левых и правых кварков и лептонов. Частный случай чисто векторного взаимодействия в (2) при $K_2^L = K_2^R$ рассматривался в работах [2, 9, 10].

Введение фермионного смешивания может привести к сильному ослаблению ограничений на массы векторных лептокварков [10–12]. Фитированием углов смешивания в $K_2^{L,R}$ были получены ограничения на массу векторного лептокварка из процессов

$K_L^0 \rightarrow l_i^+ l_j^-$, $B^0 \rightarrow l_i^+ l_j^-$, $B_s^0 \rightarrow l_i^+ l_j^-$. При этом получены значения углов смешивания, при которых массы векторных лептокварков меньше 100 ТэВ.

В частности, при

$$K_2^L = \begin{bmatrix} 0 & 0 & -0,383 \\ 0 & 0 & 0,924 \\ -0,818 & 0,574 & 0 \end{bmatrix}, \quad K_2^R = \begin{bmatrix} 0 & 0 & -0,818 \\ 0 & 0 & 0,574 \\ -0,383 & 0,924 & 0 \end{bmatrix} \quad (4)$$

минимальное ограничение на массу векторного лептокварка составляет $m_V > 91,5$ ТэВ или при

$$K_2^L = \begin{bmatrix} 0 & 0 & 1 \\ -0,79 & 0,61 & 0 \\ -0,61 & -0,79 & 0 \end{bmatrix}, \quad K_2^R = \begin{bmatrix} 0 & 0 & 1 \\ 0 & 1 & 0 \\ -1 & 0 & 0 \end{bmatrix}, \quad (5)$$

$m_V > 91,7$ ТэВ.

Исходя из полученных ограничений на матрицы фермионного смешивания $K_2^{L,R}$, рассмотрим ограничения, накладываемые на скалярные лептокварки в модели из экспериментов по аномальному магнитному моменту мюона (АМММ), магнитному моменту нейтрино (ММН) и лептонным процессам с изменением аромата типа $l_i \rightarrow l_j \gamma$.

1. СКАЛЯРНЫЕ ЛЕПТОКВАРКИ В МОДЕЛИ

Скалярный сектор модели содержит в общем случае четыре мультиплетов $\Phi^{(1)}$, $\Phi^{(2)}$, $\Phi^{(3)}$ и $\Phi^{(4)}$, преобразующихся соответственно по представлениям $(4, 1, 1)$, $(1, 2, 1)$, $(15, 2, 1)$ и $(15, 1, 0)$ группы $SU_V(4) \times SU_L(2) \times U_R(1)$, с соответствующими вакуумными средними $\eta_1, \eta_2, \eta_3, \eta_4$. Имеющие $SU_L(2)$ -дублетную структуру мультиплеты $\Phi^{(2)}$ и $\Phi^{(3)}$ юкавским образом взаимодействуют с фермионами, придавая им массы механизмом спонтанного нарушения симметрии. При этом с помощью мультиплетов $\Phi^{(3)}$ достигается расщепление масс кварков и лептонов в каждом поколении.

Мультиплет $\Phi^{(3)}$ содержит два дублета скалярных лептокварков $S_{a\alpha}^{(\pm)}$ с гиперзарядом $Y_S = 1 \pm 4/3$, восемь дублетов скалярных глюонов F_{ja} , $j = 1, 2, \dots, 8$ с $Y_F = 1$ и дублет $\Phi_{15,a}^{(3)}$, который, смешиваясь с дублетом $\Phi_a^{(2)}$ путем суперпозиции:

$$\begin{aligned} \Phi_a^{(SM)} &= \Phi_a^{(2)} \cos \beta + \Phi_{15,a}^{(3)} \sin \beta, \\ \Phi'_a &= -\Phi_a^{(2)} \sin \beta + \Phi_{15,a}^{(3)} \cos \beta, \end{aligned}$$

образует стандартный дублет

$$\Phi^{(SM)} = \left(\begin{array}{c} \Phi_1^{(SM)} \\ \frac{\eta + \chi^{(SM)} + i\omega}{\sqrt{2}} \end{array} \right)$$

и дополнительный скалярный дублет

$$\Phi' = \left(\begin{array}{c} \Phi'_1 \\ \frac{\chi' + i\omega'}{\sqrt{2}} \end{array} \right).$$

Угол β определяется отношением вакуумных средних как $\text{tg } \beta = \eta_3 / \eta_2$.

Анализ исходного лагранжиана скалярных полей показывает, что наряду с голдстоуновскими модами Стандартной модели $\Phi_1^{(\text{SM})}$ и ω голдстоуновской модой является также

$$S_0 = \left[-\frac{\eta_1}{2} S^{(1)} + \sqrt{\frac{2}{3}} \left(\eta_3 \frac{S_2^{(+)} + S_2^{*(-)}}{\sqrt{2}} + \eta_4 S^{(4)} \right) \right] / \sqrt{\frac{\eta_1^2}{4} + \frac{2}{3}(\eta_3^2 + \eta_4^2)}, \quad (6)$$

где $S^{(1)}$ и $S^{(4)}$ — поля скалярных лептокварков с зарядом $2/3$, содержащиеся в мультиплеттах $\Phi^{(1)}$ и $\Phi^{(4)}$. Поскольку мода S_0 построена из полей $S_{2\alpha}^{(+)}$, $S_{2\alpha}^{*(-)}$, $S_\alpha^{(1)}$, $S_\alpha^{(4)}$, смешивание этих полей является необходимым и их можно представить в виде суперпозиций голдстоуновской моды S_0 и ортогональных к ней физических лептокварков S_1 , S_2 , S_3 с электрическим зарядом $2/3$. В общем случае эти суперпозиции можно представить в виде

$$\begin{aligned} S_2^{(+)} &= \sum_m c_m^{(+)} S_m, & S_2^{*(-)} &= \sum_m c_m^{(-)} S_m, \\ S^{(1)} &= \sum_k c_m^{(1)} S_m, & S^{(4)} &= \sum_k c_m^{(4)} S_m, \end{aligned} \quad (7)$$

где $c_m^{(\pm)}$, $c_m^{(1)}$, $c_m^{(4)}$, $k = 0, 1, 2, 3$ — элементы унитарной 4×4 матрицы смешивания.

Отметим, что примесь голдстоуновской моды к нижним компонентам дублетов достаточно слабая:

$$|c_0^{(\pm)}|^2 = \frac{2}{3} \frac{\eta_3^2}{\left(\frac{\eta_1^2}{4} + \frac{2}{3}(\eta_3^2 + \eta_4^2) \right)} = \frac{2}{3} \frac{g_4^2 \eta_3^2}{m_V^2} = \frac{2}{3} g_4^2 \frac{\eta^2 \sin^2 \beta}{m_V^2} = \xi^2 \sin^2 \beta,$$

где g_4 — калибровочная константа группы $SU(4)$; m_V — масса векторного лептокварка, так, $\xi^2 \leq 7,6 \cdot 10^{-6}$ при $m_V = 91$ ТэВ (нижний предел на массу векторного лептокварка в моделях с четырехцветовой симметрией типа Пати–Салама [11, 12]). Нужно отметить, что $c_0^{(+)} = c_0^{(-)}$.

В унитарной калибровке голдстоуновские моды исключаются и физическими полями являются два триплета верхних лептокварков $S_{1\alpha}^{(+)}$, $S_{1\alpha}^{(-)}$ с электрическими зарядами $5/3$ и $1/3$, три скалярных лептокварка $S_{m\alpha}$, $m = 1, 2, 3$ с электрическим зарядом $2/3$.

Взаимодействие скалярных лептокварков с фермионами можно записать в виде

$$\begin{aligned} L_{S_1^{(+)} u_i l_j} &= \bar{u}_{i\alpha} \left[(h_+^L)_{ij} P_L + (h_+^R)_{ij} P_R \right] l_j S_{1\alpha}^{(+)} + \text{h. c.}, \\ L_{S_1^{(-)} \nu_i d_j} &= \bar{\nu}_i \left[(h_-^L)_{ij} P_L + (h_-^R)_{ij} P_R \right] d_{j\alpha} S_{1\alpha}^{(-)} + \text{h. c.}, \\ L_{S_m u_i \nu_j} &= \bar{u}_{i\alpha} \left[(h_{1m}^L)_{ij} P_L + (h_{1m}^R)_{ij} P_R \right] \nu_j S_{m\alpha} + \text{h. c.}, \\ L_{S_m d_i l_j} &= \bar{d}_{i\alpha} \left[(h_{2m}^L)_{ij} P_L + (h_{2m}^R)_{ij} P_R \right] l_j S_{m\alpha} + \text{h. c.}, \end{aligned} \quad (8)$$

где $P_{L,R} = (1 \pm \gamma_5)/2$ — левый и правый проекционный операторы; $(h_{\pm}^{L,R})_{ij}$ и $(h_{am}^{L,R})_{ij}$ — феноменологические константы взаимодействия; i, j — индексы поколений.

В силу своего хиггсовского происхождения константы взаимодействия пропорциональны отношению масс фермионов к вакуумному среднему в СМ $\eta = 246$ ГэВ. Так как эти отношения очень малы: $m_u/\eta, m_d/\eta \sim 10^{-5}$, $m_s/\eta \sim 10^{-3}$ и $m_c/\eta, m_b/\eta \sim 10^{-2}$, за исключением $m_t/\eta \sim 0,7$, то для дальнейшего упрощения вычислений мы пренебрегаем массами фермионов в константах, кроме масс b - и t -кварков.

Доминирующие вклады в константы взаимодействия (8) тогда можно представить в виде [13, 14]

$$\begin{aligned}
 (h_+^L)_{3j} &= \sqrt{\frac{3}{2}} \frac{m_t}{\eta \sin \beta} (K_1^L C_l)_{3j}, \\
 (h_+^R)_{3j} &= -\sqrt{\frac{3}{2}} \frac{m_b}{\eta \sin \beta} [(C_Q)_{33} (K_2^R)_{3j}], \\
 (h_-^L)_{i3} &= \sqrt{\frac{3}{2}} \frac{m_t}{\eta \sin \beta} (K_1^+)^{i3} (C_Q)_{33}, \\
 (h_-^R)_{i3} &= -\sqrt{\frac{3}{2}} \frac{1}{\eta \sin \beta} [(C_l K_2^L)^{i3} m_b], \\
 (h_{1m}^{L,R})_{3j} &= -\sqrt{\frac{3}{2}} \frac{m_t}{\eta \sin \beta} (K_1^{L,R})_{3j} c_m^{(\pm)}, \\
 (h_{2m}^{L,R})_{3j} &= -\sqrt{\frac{3}{2}} \frac{m_b}{\eta \sin \beta} (K_2^{L,R})_{3j} c_m^{(\mp)}.
 \end{aligned} \tag{9}$$

Скалярные лептокварки в МКЛС-модели, как видно из (8), (9), обладают особенностями, присущими только четырехцветовой симметрии: а) они не киральны, б) могут участвовать в недиагональных по аромату процессах, в) преимущественно взаимодействуют с тяжелыми фермионами (особенно с t -кварком), т. е. ведут себя как лептокварки третьего поколения.

2. ЛЕПТОННЫЕ ПРОЦЕССЫ С НАРУШЕНИЕМ АРОМАТА $l_i \rightarrow l_j \gamma$

Процессы с нарушением лептонного аромата типа $l_i \rightarrow l_j \gamma$ могут идти через скалярные лептокварки S_m с электрическим зарядом $2/3$ и скалярный лептокварк $S_1^{(+)}$ с электрическим зарядом $5/3$.

Вклад скалярных лептокварков в $l_i \rightarrow l_j \gamma$ определяется двумя диаграммами, изображенными на рис. 1. Наибольший вклад от скалярных лептокварков будет, когда в петле

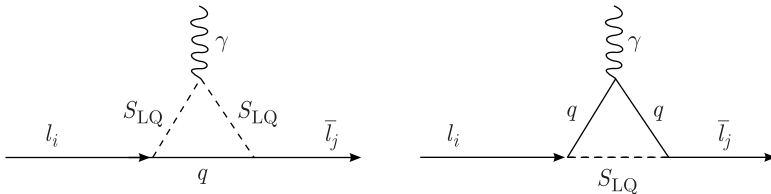


Рис. 1. Диаграммы, описывающие вклад скалярных лептокварков в процесс $l_i \rightarrow l_j \gamma$. $q = u_i(d_i)$ — верхний (нижний) кварк i -го поколения; $S_{LQ} = S_1^{(+)}(S_m)$ — соответствующий им скалярный лептокварк

вместе с лептокварком находится кварк 3-го поколения, для $S_1^{(+)}$ это t -кварк, а для S_m — b -кварк. Вклад S_m -лептокварка с b -кварком в петле в процесс $l_i \rightarrow l_j \gamma$ будет подавляться в сравнении с аналогичным вкладом $S_1^{(+)}$ -лептокварка и t -кварка в m_t^2/m_b^2 раз в силу того, что в константах (9) для $S_1^{(+)}$ -лептокварка одна из констант пропорциональна массе t -кварка, а не b -кварка. Поэтому в дальнейшем в общих выражениях мы будем предполагать процесс, идущий через $S_1^{(+)}$ -лептокварк и t -кварк.

Вероятность процесса $l_i \rightarrow l_j \gamma$, учитывая вид констант (9), можно представить в виде [18]

$$W(l_i \rightarrow l_j \gamma) = \frac{9\alpha m_i}{256(4\pi)^4} \left(\frac{m_i}{\eta}\right)^4 \left(\frac{m_t}{m_{LQ}}\right)^4 \times \left(B_1^2(x) k_{ij}^{(1)} - 2\frac{m_b}{m_i} B_1(x) B_2(x) \operatorname{Re}(k_{ij}^{(12)}) + 4\left(\frac{m_b}{m_i}\right)^2 B_2^2(x) k_{ij}^{(2)} \right), \quad (10)$$

где

$$\begin{aligned} B_1(x) &= \frac{2}{3} F_5(x) + \frac{5}{3} F_2(x), \\ B_2(x) &= \frac{2}{3} F_6(x) + \frac{5}{3} F_3(x); \\ F_2(x) &= \frac{1}{6(1-x)^4} (1 - 6x + 3x^2 + 2x^3 - 6x^2 \ln x), \\ F_3(x) &= \frac{1}{(1-x)^3} (1 - x^2 + 2x \ln x), \\ F_5(x) &= \frac{1}{6(1-x)^4} (2 + 3x - 6x^2 + x^3 - 6x \ln x), \\ F_6(x) &= \frac{1}{(1-x)^3} (-3 + 4x - x^2 - 2 \ln x) \end{aligned}$$

и $x = m_t^2/m_{LQ}^2$.

$$\begin{aligned} k_{ij}^{(1)} &= \frac{|(K_1^L C_l)_{3j}|^2 |(K_1^L C_l)_{3i}|^2}{\sin^4 \beta}, \\ k_{ij}^{(2)} &= \frac{|(K_1^L C_l)_{3j}|^2 |(K_2^R)_{3i}|^2 + |(K_1^L C_l)_{3i}|^2 |(K_2^R)_{3j}|^2}{\sin^4 \beta}, \\ k_{ij}^{(12)} &= \frac{(|(K_1^L C_l)_{3j}|^2 + |(K_2^R)_{3j}|^2) ((K_1^L C_l)_{3i}^* (K_2^R)_{3i} + (K_2^R)_{3i}^* (K_1^L C_l)_{3i})}{\sin^4 \beta} + i \leftrightarrow j. \end{aligned}$$

Относительные вероятности записываются как $\operatorname{Br}(l_i \rightarrow l_j \gamma) = W(l_i \rightarrow l_j \gamma)/\Gamma(l_i \rightarrow \text{total})$, где $\Gamma(l_i \rightarrow \text{total})$ — полная ширина распада лептона l_i . Так, для мюона

$$\Gamma(\mu \rightarrow \text{total}) = \Gamma_\mu = 2,97 \cdot 10^{-19} \text{ ГэВ}$$

и для $\mu \rightarrow e \gamma$ получим

$$\operatorname{Br}(\mu \rightarrow e \gamma) = 1,1 \cdot 10^{-4} x^2 \left(B_1^2(x) k_{\mu e}^{(1)} - 84 B_1(x) B_2(x) \operatorname{Re}(k_{\mu e}^{(12)}) + 7056 B_2^2(x) k_{\mu e}^{(2)} \right).$$

Текущие экспериментальные значения для этого процесса имеют высокую точность и составляют [19]:

$$\text{Br}(\mu \rightarrow e\gamma) < 4,2 \cdot 10^{-13}.$$

Как видно из (10), для процесса $\mu \rightarrow e\gamma$ основным вкладом является третье слагаемое, пропорциональное (m_b^2/m_μ^2) . Это позволяет упростить запись $\text{Br}(\mu \rightarrow e\gamma)$:

$$\text{Br}(\mu \rightarrow e\gamma) = 0,7x^2 B_2^2(x) k_{\mu e}^{(2)},$$

$$k_{\mu e}^{(2)} = \frac{|(K_1^L C_l)_{31}|^2 |(K_2^R)_{32}|^2 + |(K_1^L C_l)_{32}|^2 |(K_2^R)_{31}|^2}{\sin^4 \beta}.$$

В параметр смешивания модели $k_{\mu e}^{(2)}$ входит неизвестный угол смешивания β , на который есть единственное ограничение из применимости теории возмущений к константам взаимодействия с t -кварком $h^2/4\pi \sim 3m_t^2/(8\pi\eta^2 \sin^2 \beta) < 1$, откуда следует, что $\sin \beta > 0,25$. Для элементов матрицы $(K_2^{L,R})$ значение можно выбрать $(K_2^R)_{32} = 0,92$ и $(K_2^R)_{31} = -0,38$ из (4) или из (5) $(K_2^R)_{32} = 0$ и $(K_2^R)_{31} = 1$. По аналогии с матрицами смешивания в кварковом секторе $C_Q = V_{CKM}$ и в лептонном $C_l^+ = U_{PNSM}$ [20] элементы матрицы $(K_1^{L,R})$ дополнительного фермионного смешивания могут быть от сотых до десятых долей единицы и $k_{\mu e}^{(2)}$ вполне может быть порядка $10^{-4} - 10^{-2}$.

Ограничения на массу скалярного лептокварка $S_1^{(+)}$ из $\text{Br}(\mu \rightarrow e\gamma)$ при различных значениях $k_{\mu e}^{(2)}$ приведены на рис. 2. Как видно из рисунка, масса скалярного лептокварка $S_1^{(+)}$ может быть меньше 100 ТэВ.

Ограничения на массу скалярного лептокварка $S_1^{(+)}$ из процессов $\tau \rightarrow \mu\gamma$ и $\tau \rightarrow e\gamma$ значительно слабее, так как меньше соответствующие ограничения на вероятности распадов.

Если в петле b -кварк и S_m -лептокварк, то из $\text{Br}(\mu \rightarrow e\gamma) < 4,2 \cdot 10^{-13}$ могут быть получены ограничения на массу легчайшего скалярного лептокварка S_m с зарядом $2/3$. Ограничения слабее, чем для скалярного лептокварка $S_1^{(+)}$ в $(m_t/m_b)^2$ раз, так что при

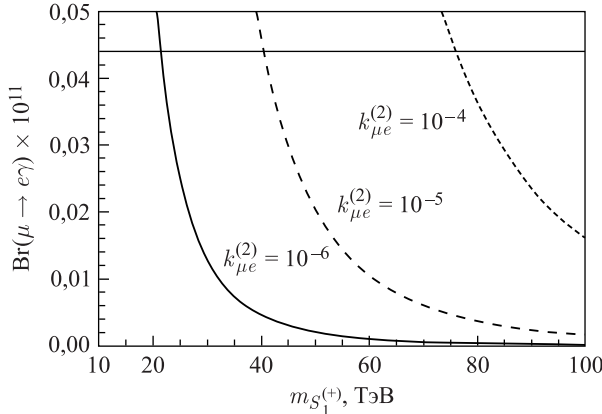


Рис. 2. Зависимость $\text{Br}(\mu \rightarrow e\gamma)$ от массы скалярного лептокварка $S_1^{(+)}$ при различных значениях $k_{\mu e}^{(2)}$. Горизонтальной линией показан экспериментальный предел $\text{Br}(\mu \rightarrow e\gamma) < 4,2 \cdot 10^{-13}$

$k_b^{(2)} < 1$ они ниже экспериментальных пределов для лептокварка с зарядом $2/3$, которые составляют 850 ГэВ [15]. При $k_b^{(2)} = 10$ нижняя граница может составлять 1,35 ТэВ.

3. АНОМАЛЬНЫЙ МАГНИТНЫЙ МОМЕНТ МЮОНА

Вклад в аномальный магнитный момент мюона (АМММ) могут давать скалярные лептокварки S_m с электрическим зарядом $2/3$ и скалярный лептокварк $S_1^{(+)}$ с электрическим зарядом $5/3$.

Аномальный магнитный момент мюона вычисляем как магнитный формфактор $g(0)$, взятый при $p = 0$, где p — 4-импульс фотона. Вклад скалярных лептокварков в АМММ определяется двумя диаграммами, изображенными на рис. 1, где нужно положить $l_i = l_j = \mu$.

Наибольший вклад от скалярных лептокварков в АМММ будет, когда в петле вместе с лептокварком находится кварк 3-го поколения, для $S_1^{(+)}$ это t -кварк, а для S_m — b -кварк.

Суммарному однопетлевому вкладу в общем случае соответствует [16]

$$\delta a_\mu = -\frac{N_c m_\mu^2}{16\pi^2 m_{LQ}^2} \left[(Q_i F_5(x) - Q_S F_2(x)) (|(h^L)_{i2}|^2 + |(h^R)_{i2}|^2) + \frac{m_i}{m_\mu} (Q_i F_6(x) - Q_S F_3(x)) \left(\frac{(h^L)_{2i}(h^R)_{i2} + (h^R)_{2i}(h^L)_{i2}}{2} \right) \right], \quad (11)$$

где $N_c = 3$ — цветовой фактор; Q_i — заряд кварка q_i в петле ($2/3$ для t -кварка и $-1/3$ для b -кварка); Q_S — электрический заряд лептокварка в петле ($-5/3$ для $S_1^{(+)}$ и $-2/3$ для S_m); m_μ, m_i — массы мюона и q_i -кварка; m_{LQ} — масса скалярного лептокварка $h^{L,R}$ константы взаимодействия в форме (9).

Как видно из значений констант связи скалярных лептокварков (9), вклад скалярных лептокварков S_m в АМММ меньше, чем у $S_1^{(+)}$ с зарядом $5/3$, как минимум в $(m_t/m_b)^2$ раз. Поэтому в первую очередь рассмотрим вклад скалярного лептокварка $S_1^{(+)}$.

Рассмотрим лидирующие вклады в АМММ от скалярного лептокварка $S_1^{(+)}$. Как видно из (9), первое слагаемое в (11) пропорционально $(m_t/\eta)^2$ (из $(h^L)_{i2}^2$), а второе слагаемое $\sim (m_t m_b/\eta^2)$ (из произведений левых и правых констант связи), но за счет отношения массы кварка в петле к массе мюона m_t/m_μ второе слагаемое больше первого в m_b/m_μ раз, поэтому в численных расчетах можно ограничиться только им. В этом случае выражение (11) при учете констант (9) будет иметь вид

$$\delta a_\mu = \frac{3N_c m_\mu^2}{32\pi^2 m_{S_1^{(+)}}^2} \frac{m_t^2}{\eta^2} \frac{m_b}{m_\mu} (Q_t F_6(x) - Q_S F_3(x)) k, \quad (12)$$

$$\text{где } k = \left(\frac{(K_1^L C_l)_{32}^* (K_2^R)_{32} + (K_2^R)_{32}^* (K_1^L C_l)_{32}}{2 \sin^2 \beta} \right)$$

— параметр смешивания модели и $x = (m_t/m_{S_1^{(+)}})^2$.

Для $(K_2^R)_{32}$ значение можно выбрать 0,92 из (4) или 0 из (5). По аналогии с матрицами смешивания в кварковом секторе $C_Q = V_{CKM}$ и в лептонном $\hat{C}_l = U_{PNSM}$ [20] элементы матриц $(K_1^{L,R})_{32}$ дополнительного фермионного смешивания могут быть от сотых до десятых долей единицы и k вполне может быть порядка 10^{-2} .

Подставляя численные значения в выражение (12), получаем

$$\delta a_\mu = 1910 \cdot 10^{-10} x(Q_t F_6(x) - Q_S F_3(x))k.$$

Для сравнения по данным [15] имеем

$$19,2 \cdot 10^{-10} < \delta a_\mu < 34,4 \cdot 10^{-10}. \tag{13}$$

Ограничения, полученные на массу скалярного лептокварка $S_1^{(+)}$ из АМММ при различных значениях параметра k , представлены на рис. 3. Как видно из рис. 3, для значений АМММ, соответствующих (13), ограничения на массу скалярного лептокварка $S_1^{(+)}$ могут быть порядка 1 ТэВ (а в случае (5) $(K_2^R)_{32} = 0$ их нет).

Предположим для простоты вырождение масс у скалярных лептокварков с зарядом $2/3$, что в общем случае не обязательно, тогда мы можем избавиться от неизвестных элементов матрицы лептокваркового смешивания $c_m^{(\pm)}$. По условию унитарности

$$\sum_m^4 \hat{c}_m^{(\pm)} c_m^{(\mp)} = 0, \quad \sum_m^3 \hat{c}_m^{(\pm)} c_m^{(\mp)} = -c_0^{(\pm)} c_0^{(\mp)} = -\xi^2 \sin^2 \beta.$$

Тогда

$$\delta a_\mu = -\frac{3N_c}{32\pi^2} \frac{m_\mu^2}{\eta^2} \frac{m_b}{m_\mu} \xi^2 x_m (Q_b F_6(x_m) - Q_S F_3(x_m)) k_b,$$

$$k_b = \left(\frac{(K_1^L)_{32}^* (K_1^R)_{32} + (K_1^R)_{32}^* (K_1^L)_{32}}{2} \right)$$

и

$$\delta a_\mu = -1910 \cdot 10^{-10} \xi^2 x_m (Q_b F_6(x_m) - Q_S F_3(x_m)) k_b,$$

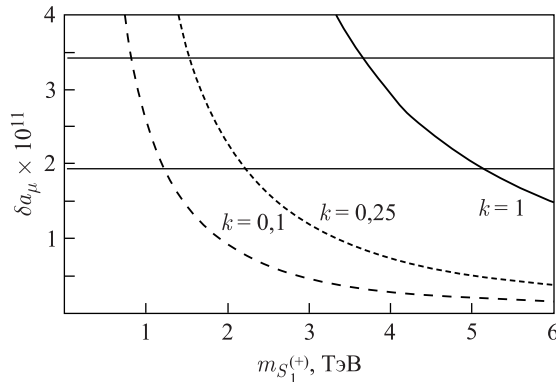


Рис. 3. Зависимость δa_μ от $m_{S_1^{(+)}}$ для различных значений параметра $k = 1, 0,25, 0,1$. Горизонтальными линиями обозначены экспериментальные пределы (13)

где оцениваем входящие в выражение параметры как $x_m < 10^{-5}$, что справедливо при $m_{S_m} > 850$ ГэВ (ограничение из прямых поисков для скалярных лептокварков 3-го поколения с электрическим зарядом $2/3$ [15]) и $\xi^2 < 10^{-6}$, что справедливо при $m_V > 91$ ТэВ. Выражение в скобках не превосходит 6 (для масс скалярных лептокварков до 1 ТэВ), а $|k_b| \leq 1$. Как видно, вклад даже вырожденных по массе скалярных лептокварков S_m дает очень малое значение ($\delta a_\mu \sim 10^{-18}$), откуда следует, что из АМММ нельзя получить ограничения на массы вырожденных скалярных лептокварков S_m .

В случае отсутствия вырождения по массе у скалярных лептокварков S_m можно оценить вклад легчайшего состояния. Этот вклад составит $\sim 10^{-7} x_m k_{bm}$, где параметр смешивания $k_{bm} \leq 25$, но в него входят кроме матричных элементов дополнительного фермионного смешивания $K^{L,R}$ еще и матричные элементы лептокваркового смешивания $c_m^{(\pm)}$, при этом $x = (m_b/m_{S_m})^2 \leq 10^{-5}$. При любых значениях k_{bm} ограничение на массу скалярного лептокварка S_m становится меньше экспериментального предела, следующего из прямых поисков (850 ГэВ).

4. МАГНИТНЫЙ МОМЕНТ НЕЙТРИНО

Вкладу скалярных лептокварков в магнитный момент нейтрино (ММН) соответствуют две диаграммы, приведенные на рис. 1, где $l_i = l_j = \nu_i$ и $S_{LQ} = S_1^{(-)}(S_m)$. В качестве пары: кварк q , лептокварк S_{LQ} — в петле могут находиться t -кварк и S_m -лептокварк с $Q = 2/3$ и b -кварк и $S_1^{(-)}$ -лептокварк с $Q = -1/3$.

Общий вид магнитного момента нейтрино ν_i в однопетлевом приближении, обусловленный вкладом скалярного лептокварка S_{LQ} и q_j -кварка в петле, имеет вид [17]

$$\mu_{\nu_i} = -\frac{N_c m_e}{16\pi^2 m_{LQ}^2} \mu_B \left[m_{\nu_i} (Q_j F_5(x) - Q_s F_2(x)) (|(h^L)_{ji}|^2 + |(h^R)_{ji}|^2) + m_j (Q_j F_6(x) - Q_s F_3(x)) \left(\frac{(h^{\dagger L})_{ij} (h^R)_{ji} + (h^{\dagger R})_{ij} (h^L)_{ji}}{2} \right) \right], \quad (14)$$

где Q_j — заряд кварка; Q_s — заряд скалярного лептокварка; m_{ν_i} — масса нейтрино; m_{LQ} — масса скалярного лептокварка; m_j — масса q_j -кварка; μ_B — магнетон Бора и $x = m_j^2/m_{LQ}^2$.

Первое слагаемое в (14) пропорционально массе нейтрино и является достаточно малым, оно соответствует вкладу киральных лептокварков, тогда как второе слагаемое в (14) соответствует вкладу не киральных лептокварков и пропорционально массе q_j -кварка в петле и поэтому значительно больше первого.

Вклад от скалярных лептокварков S_m с зарядом $2/3$ в магнитный момент нейтрино преобладает над вкладом скалярного лептокварка $S_1^{(-)}$ с зарядом $-1/3$, так как он содержит t -кварк в петле и обе константы пропорциональны массе t -кварка (9), в то время как лептокварк $S_1^{(-)}$ содержит b -кварк в петле и одна из его констант (9) пропорциональна массе t -кварка, а другая — b -кварка. Поэтому вклад $S_1^{(-)}$ в магнитный момент нейтрино в $(m_t/m_b)^2$ раз меньше, чем у S_m .

Окончательный вид магнитного момента нейтрино, где учтен вид констант (9) для скалярных лептокварков S_m (пренебрегая первым слагаемым с массой нейтрино в (14)), запишем как

$$\mu_{\nu_i} = - \sum_{m=1}^3 \frac{9m_e m_t}{32\pi^2 \eta^2} x_m \mu_B (Q_t F_6(x_m) - Q_s F_3(x_m)) k_m,$$

$$k_m = \frac{(K_1^+)^R{}_{i3} (K_1^L)_{3i} c_m^{+(+)} c_m^{(-)} + (K_1^+)^L{}_{i3} (K_1^R)_{3i} c_m^{+(-)} c_m^{(+)}}{2 \sin^2 \beta},$$

где $x_m = m_t^2 / m_{S_m}^2$.

После подстановки численных значений известных параметров и масс получаем

$$\mu_{\nu_i} = -4 \cdot 10^{-8} \mu_B \sum_{m=1}^3 x_m (Q_t F_6(x_m) - Q_s F_3(x_m)) k_m. \quad (15)$$

Трудностью при вычислениях вклада в магнитный момент нейтрино от скалярных лептокварков S_m может являться расщепление их масс (в общем случае). Для упрощения анализа предполагаем вырождение скалярных лептокварков S_m по массе и суммируем по числу физических полей.

Откуда получаем

$$\mu_{\nu_i} = 0,3 \cdot 10^{-12} \mu_B x (Q_t F_6(x) - Q_s F_3(x)) k,$$

где

$$k = \frac{(K_1^+)^R{}_{i3} (K_1^L)_{3i} + (K_1^+)^L{}_{i3} (K_1^R)_{3i}}{2} \quad \text{и} \quad x = \frac{m_t^2}{m_{S_m}^2}.$$

Исходя из астрофизического ограничения на магнитный момент нейтрино [15]

$$\mu_{\nu} < 3 \cdot 10^{-12} \mu_B, \quad (16)$$

получаем ограничение на нижнюю границу для массы скалярных лептокварков меньше существующих экспериментальных ограничений $m_{S_m} > 850$ ГэВ.

Оценим вклад легчайшего из лептокварков в случае отсутствия вырождения масс у скалярных лептокварков S_m .

На рис. 4 показан вклад легчайшего по массе скалярного лептокварка S_m в магнитный момент нейтрино в зависимости от массы скалярного лептокварка m_{S_m} при различных значениях параметра k_m . Напомним, что в параметр смешивания k_m , кроме неизвестных матричных элементов $(K^{L,R})_{3i}$, входят неизвестные элементы матрицы лептокваркового смешивания $c_m^{(\pm)}$. Как видно из рис. 4, ограничения на массу скалярного лептокварка S_m составляют порядка нескольких тераэлектронвольт.

Так как вклад скалярного лептокварка $S_1^{(-)}$ с электрическим зарядом $-1/3$ в магнитный момент нейтрино в $(m_t/m_b)^2$ раз меньше, чем у лептокварков S_m с электрическим зарядом $2/3$, то и ограничения на его массу значительно слабее.

Подставляя численный фактор $(m_b/m_t)^2 \sim 5,8 \cdot 10^{-4}$ в (15) и учитывая, что $x = (m_b/m_{S_1^{(-)}})^2 < 5 \cdot 10^{-5}$ (существующий экспериментальный предел на массу скалярного

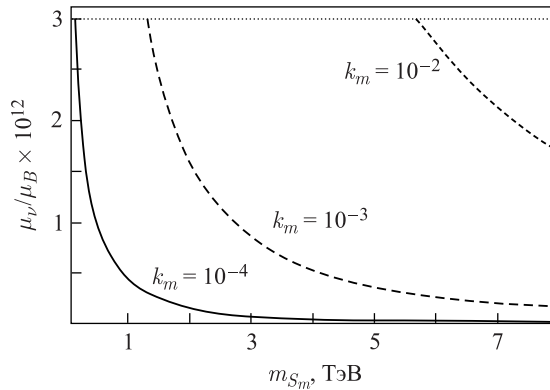


Рис. 4. Зависимость μ_ν/μ_B от массы скалярного лептокварка S_m при различных значениях k_m . Горизонтальной линией показан астрофизический предел $\mu_\nu < 3 \cdot 10^{-12} \mu_B$

лептокварка третьего поколения с $Q = 1/3$ дает $m_{S_1^{(-)}} > 625$ ГэВ), получим

$$\mu_{\nu_i}^{(S_1^{(-)})} < 10^{-16} \mu_B k^{(-)},$$

откуда видно, что при любом возможном значении параметра $k^{(-)}$ вклад скалярного лептокварка $S_1^{(-)}$ в магнитный момент нейтрино меньше ограничения (16). Следовательно, оценка на массу скалярного лептокварка $S_1^{(-)}$ из ММН слабее существующих экспериментальных ограничений из прямых поисков.

В заключение отметим, что поиски скалярных лептокварков и ограничений на их параметры являются актуальной задачей (см. [21] и цитируемую литературу). Ограничения на массы скалярных лептокварков, полученные с учетом значений матриц дополнительного фермионного смешивания в четырехцветовой модели, следующие: для скалярного лептокварка $S_1^{(-)}$ с $Q = 1/3$ — ниже существующих экспериментальных ограничений из прямых поисков (625 ГэВ), для скалярного лептокварка S_m с $Q = 2/3$ — порядка нескольких тераэлектронвольт и для скалярного лептокварка $S_1^{(+)}$ с $Q = 5/3$ — меньше или порядка масс векторных лептокварков. Таким образом, проявления четырехцветовой симметрии возможны и при тераэлектронвольтных энергиях.

СПИСОК ЛИТЕРАТУРЫ

1. Pati J. C., Salam A. Lepton Number as the Fourth Color // Phys. Rev. D. 1974. V. 10. P. 275.
2. Kuznetsov A. V., Mikheev N. V. Vector Leptoquarks Could Be Rather Light? // Phys. Lett. B. 1994. V. 329. P. 295–299; arXiv:9406347 [hep-ph].
3. Valencia G., Willenbrock S. Quark–Lepton Unification and Rare Meson Decays // Phys. Rev. D. 1994. V. 50. P. 6843–6848.
4. Smirnov A. D. Contributions of Gauge and Scalar Leptoquarks to $K_L^0 \rightarrow l_i^+ l_j^-$ and $B_0 \rightarrow l_i^+ l_j^-$ Decay and Constraints on Leptoquark Masses from the Decays $K_L^0 \rightarrow e^\pm \mu^\mp$ and $B_0 \rightarrow e^\mp \tau^\pm$ // Phys. Atom. Nucl. 2008. V. 71. P. 1470–1480.

5. *Povarov A. V.* The Parameters of the Fermion-Mixing and Search Restriction on a Mass Leptoquark // EPJ Web Conf. 2017. V. 158. P. 02007; <https://doi.org/10.1051/epjconf/201715802007>.
6. *Smirnov A. D.* On Mass Limits for Vector Leptoquarks from $K_0^L, B_0, B_s \rightarrow l_i^+ l_j^-$ Decays with Account of Fermion Mixing // EPJ Web Conf. 2017. V. 158. P. 02004; <https://doi.org/10.1051/epjconf/201715802004>.
7. *Smirnov A. D.* The Minimal Quark–Lepton Symmetry Model and the Limit on Z -Prime Mass // Phys. Lett. B. 1995. V. 346. P. 297–302; arXiv:9503239 [hep-ph].
8. *Smirnov A. D.* Minimal Four Color Model with Quark–Lepton Symmetry and Constraints on the Z -Prime Boson Mass // Phys. Atom. Nucl. 1995. V. 58. P. 2137–2143.
9. *Kuznetsov A. V., Mikheev N. V.* New Type of Mixing in the Minimal Quark–Lepton Symmetry and a Lower Bound on the Vector Leptoquark Mass // Ibid. P. 2113–2119.
10. *Kuznetsov A. V., Mikheev N. V., Serghienko A. V.* The Third Type of Fermion Mixing in the Lepton and Quark Interactions with Leptoquarks // Intern. J. Mod. Phys. A. 2012. V. 27. P. 1250062-1–1250062-19; arXiv:1203.0196 [hep-ph].
11. *Smirnov A. D.* Vector Leptoquark Mass Limits and Branching Ratios of $K_0^L, B_0, B_s \rightarrow l_i^+ l_j^-$ Decays with Account of Fermion Mixing in Leptoquark Currents // Mod. Phys. Lett. A. 2018. V. 71. P. 1850019; arXiv:1801.02895 [hep-ph].
12. *Povarov A. V.* The Constraints on the Masses of the Vector Leptoquarks from the Decays $K_L^0 \rightarrow l_i^+ l_j^-$ and $B^0, B_s^0 \rightarrow l_i^+ l_j^-$ // Phys. Part. Nucl. Lett. 2019. V. 16. P. 1–5.
13. *Popov P. Y., Povarov A. V., Smirnov A. D.* Fermionic Decays of Scalar Leptoquarks and Scalar Gluons in the Minimal Four-Color Symmetry Model // Mod. Phys. Lett. A. 2005. V. 20. P. 3003–3012; arXiv:0511149 [hep-ph].
14. *Popov P. Y., Povarov A. V., Smirnov A. D.* Dominant Decays of Scalar Leptoquarks and Scalar Gluons in the Minimal Four-Color Symmetry Model // Phys. Atom. Nucl. 2007. V. 70. P. 739–747.
15. *Tanabashi M. et al. (Particle Data Group).* 2018 Review of Particle Physics // Phys. Rev. D. 2018. V. 98. P. 030001.
16. *Povarov A. V.* Estimating Scalar-Leptoquark Masses from the Muon Anomalous Magnetic Moment within the Four-Color Symmetry Model // Phys. Atom. Nucl. 2006. V. 69. P. 876–883.
17. *Povarov A. V.* Scalar-Leptoquark Contributions to the Neutrino Magnetic Moment // Phys. Atom. Nucl. 2007. V. 70. P. 871–878.
18. *Povarov A. V., Smirnov A. D.* Limits on Scalar-Leptoquark Masses from Lepton-Flavor-Violating Processes of the $l_i \rightarrow l_j \gamma$ Type // Phys. Atom. Nucl. 2011. V. 74. P. 732–739.
19. *Baldini A. et al.* Search for the Lepton Flavour Violating Decay $\mu^+ \rightarrow e^+ \gamma$ with the Full Dataset of the MEG Experiment // Eur. Phys. J. C. 2016. V. 76. P. 434; arXiv:1605.05081 [hep-ex].
20. *Esteban I., Gonzalez-Garcia M. C., Maltoni M., Martinez-Soler I., Schwetz T.* Updated Fit to Three Neutrino Mixing: Exploring the Accelerator-Reactor Complementarity // JHEP. 2017. V. 01. P. 087; arXiv:1611.01514 [hep-ph].
21. *Doršner I., Fajfer S., Greljo A., Kamenik J. F., Košnik N.* Physics of Leptoquarks in Precision Experiments and at Particle Colliders // Phys. Rep. 2016. V. 641. P. 1–68; arXiv:1603.04993 [hep-ph].